

ЛЕКЦИЯ № 8.

2.1.4. Согласованный фильтр. (С.Ф).

В отличие от линейных фильтров, предназначенных для оптимальной фильтрации случайных сигналов, согласованный фильтр применяется при обнаружении и различении детерминированных сигналов.

Критерий оптимальности согласованного фильтра:

$$q_B = q_{Bmax}, \quad (2.16)$$

т. е. на выходе согласованного фильтра должно реализоваться максимальное отношение сигнал/шум.

Вывод КЧХ и импульсной характеристики $h(t)$ согласованного фильтра:

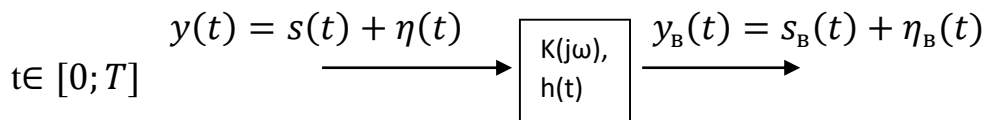


Рисунок 2.2. К выводу характеристик С.Ф.

$S(j\omega) = \int_{-\infty}^{\infty} s(t) e^{-j\omega t} dt$ - спектр входного сигнала $S(t)$

$S_B(j\omega) = S(j\omega)K(j\omega)$ - спектр сигнала на выходе фильтра

$$\Rightarrow s_B(t) = \frac{1}{2\pi} \int_{-\infty}^{\infty} S_B(j\omega) e^{j\omega t} d\omega = \frac{1}{2\pi} \int_{-\infty}^{\infty} S(j\omega) K(j\omega) e^{j\omega t} d\omega \quad (2.17)$$

$G_{\eta_B}(\omega) = G_{\eta}(\omega) |K(j\omega)|^2$ - спектральная плотность мощности шума на выходе фильтра, $G_{\eta}(\omega)$ - спектральная плотность мощности шума на входе фильтра.

Тогда мощность шума на выходе фильтра равна

$$\sigma_{\eta_B}^2 = \frac{1}{2\pi} \int_{-\infty}^{\infty} G_{\eta}(\omega) |K(j\omega)|^2 d\omega \quad (2.18)$$

На основании формул (2.17) и (2.18) имеем:

$$q_s = \frac{|s_s(t_0)|^2}{\sigma_{\eta_B}^2} = \frac{\frac{1}{2\pi} \left| \int_{-\infty}^{\infty} S(j\omega) K(j\omega) e^{j\omega t_0} d\omega \right|^2}{\int_{-\infty}^{\infty} G_{\eta}(\omega) |K(j\omega)|^2 d\omega}, \text{ где } t_0 - \text{некоторый момент}$$

времени, q_B - отношение сигнал/шум по мощности на выходе фильтра в момент времени t_0 .

Далее надо найти такую $K(j\omega)$, при которой $q_B = q_{Bmax}$.

Поставленная задача может быть решена методом вариационного исчисления или используя неравенство Шварца-Буняковского.

Неравенство Шварца-Буняковского:

Если имеются две произвольные комплексные функции $f(x)$ и $g(x)$, то выполняется соотношение:

$\left| \int_{-\infty}^{\infty} f^*(x) \cdot g(x) dx \right|^2 \leq \int_{-\infty}^{\infty} |f(x)|^2 dx \cdot \int_{-\infty}^{\infty} |g(x)|^2 dx$, причем знак « \Rightarrow » имеет место, если $g(x) = C_0 f(x)$, где $C_0 = \text{const}$, « $*$ » знак сопряжения.

Тогда, полагая:

$$f^*(x) = \frac{S(j\omega)e^{j\omega t_0}}{\sqrt{2\pi G_\eta(\omega)}}, \quad g(x) = K(j\omega) \cdot \sqrt{G_\eta(\omega)},$$

и учитывая

$$\frac{\left| \int_{-\infty}^{\infty} f^*(x) \cdot g(x) dx \right|^2}{\int_{-\infty}^{\infty} |g(x)|^2 dx} \leq \int_{-\infty}^{\infty} |f(x)|^2 dx, \text{ имеем}$$

$$\frac{\left| \int_{-\infty}^{\infty} \frac{S(j\omega)e^{j\omega t_0}}{\sqrt{2\pi G_\eta(\omega)}} \cdot K(j\omega) \cdot \sqrt{G_\eta(\omega)} d\omega \right|^2}{\int_{-\infty}^{\infty} \left| K(j\omega) \cdot \sqrt{G_\eta(\omega)} \right|^2 d\omega} = \frac{1}{2\pi} \cdot \frac{\left| \int_{-\infty}^{\infty} S(j\omega) K(j\omega) e^{j\omega t} d\omega \right|^2}{\int_{-\infty}^{\infty} G_\eta(\omega) |K(j\omega)|^2 d\omega} q_{\text{в}}$$

$$\leq \frac{1}{2\pi} \int_{-\infty}^{\infty} \frac{|S(j\omega)|^2}{G_\eta(\omega)} d\omega,$$

$q_{\text{вmax}}$ определяется правой частью данного выражения

$$\Rightarrow q_{\text{в}} = \frac{1}{2\pi} \cdot \int_{-\infty}^{\infty} \frac{|S(j\omega)|^2}{G_\eta(\omega)} d\omega \quad (2.19)$$

и $q_{\text{в}} = q_{\text{вmax}}$, если $K(j\omega) \cdot \sqrt{G_\eta(\omega)} = C_0 \cdot \frac{S^*(j\omega)e^{-j\omega t_0}}{\sqrt{2\pi G_\eta(\omega)}} \Rightarrow$

$$K(j\omega) = \text{const} \cdot \frac{S^*(j\omega)}{G_\eta(\omega)} \cdot e^{-j\omega t_0} \quad (2.20)$$

Формула (2.20) – оптимальная КЧХ фильтра, (2.19) – максимальное отношение сигнал/шум на выходе фильтра для произвольной стационарной помехи со спектральной плотностью мощности $G_\eta(\omega)$. Такая обработка оказывается не является оптимальной. Однако, она оптимальна, если $\eta(t)$ – гауссовский шум со спектральной плотностью мощности $G_\eta(\omega) = \frac{N_0}{2}$. В этом случае оптимальный фильтр называется согласованным.

Согласованный фильтр – линейный фильтр, на выходе которого получается максимально возможное пиковое отношение сигнал/шум при приёме полностью известного сигнала на фоне БГШ.

$$\Rightarrow (2.19) \rightarrow q_{\text{в}} = \frac{1}{2\pi} \cdot \int_{-\infty}^{\infty} \frac{2|S(j\omega)|^2}{N_0} d\omega = \frac{2E}{N_0},$$

где $E = \frac{1}{2\pi} \cdot \int_{-\infty}^{\infty} |S(j\omega)|^2 d\omega$ – энергия сигнала т. е.

$$q_B = \frac{2E}{N_0} \quad (2.21)$$

(2.20) преобразуется в

$$K(j\omega) = \text{const} \cdot S^*(j\omega) \cdot e^{-j\omega t_0} \quad (2.22)$$

Т.о. АЧХ согласованного фильтра ~ амплитудному спектру сигнала, а ФЧХ равна сумме фазового спектра сигнала, взятого с обратным знаком, и фазового спектра задержки:

$$\varphi(\omega) = -\varphi_c(\omega) - \omega t_0 \quad (2.23)$$

Вывод импульсной характеристики С.Ф.

Импульсная характеристика согласованного фильтра определяется, как обратное преобразование Фурье от КЧХ (2.22):

$$h(t) = \frac{1}{2\pi} \int_{-\infty}^{\infty} K(j\omega) e^{j\omega t} d\omega = \frac{\text{const}}{2\pi} \int_{-\infty}^{\infty} S^*(j\omega) e^{j\omega(t-t_0)} d\omega =$$

$$\frac{\text{const}}{2\pi} \int_{-\infty}^{\infty} S(-j\omega) e^{j\omega(t-t_0)} d\omega, \text{ так как } S^*(j\omega) = S(-j\omega)$$

Пусть $\omega_1 = -\omega \Rightarrow d\omega = -d\omega_1 \Rightarrow$

$$h(t) = -\frac{\text{const}}{2\pi} \int_{+\infty}^{-\infty} S(j\omega_1) e^{j\omega_1(t_0-t)} d\omega_1 = \frac{\text{const}}{2\pi} \int_{-\infty}^{\infty} S(j\omega_1) e^{j\omega_1(t_0-t)} d\omega_1 =$$

$$= \text{const} \cdot S(t_0 - t).$$

Т.о. импульсная характеристика согласованного фильтра целиком определяется формой сигнала (согласована с сигналом):

$$h(t) = \text{const} \cdot S(t_0 - t) \quad (2.24)$$

Пример 1. Фильтр, согласованный с видео импульсом.

$$S(t) = \begin{cases} U, & \text{если } t \in [0; T] \\ 0, & \text{если } t < 0; t > T \end{cases}$$

T – длительность импульса

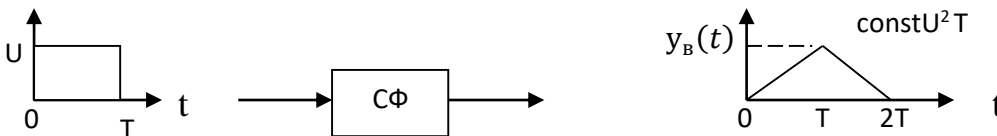
$$h(t) = S(T - t) \Rightarrow$$

$$y_B(t) = \int_{-\infty}^{\infty} S(\tau) h(t - \tau) d\tau$$

$$h(t - \tau) = \text{const} S(T - t + \tau) \Rightarrow$$

$$y_B(t) = \text{const} \int_{-\infty}^{\infty} S(\tau) S(T - t + \tau) d\tau = B_{SS}(T - t)$$

где $B_{SS}(T - t)$ – функция автокорреляции входного сигнала.



$$\text{Спектр видеоимпульса: } S(j\omega) = U \int_0^T e^{-j\omega t} dt = \frac{U e^{-j\omega t}}{-j\omega} \Big|_0^T = \frac{U}{j\omega} (1 - e^{-j\omega T}).$$

По формуле (2.22) при $t_0 = T$ получим:

$$K(j\omega) = \text{const} \frac{U}{-j\omega} (1 - e^{j\omega T}) e^{-j\omega t} = \text{const} \frac{U}{j\omega} (1 - e^{-j\omega T}).$$

Тогда функциональная схема, согласованного с видео импульсом, фильтра имеет вид, показанный на рисунке 2.2. На рисунке 2.3. изображены этапы формирования сигнала на выходе С.Ф.

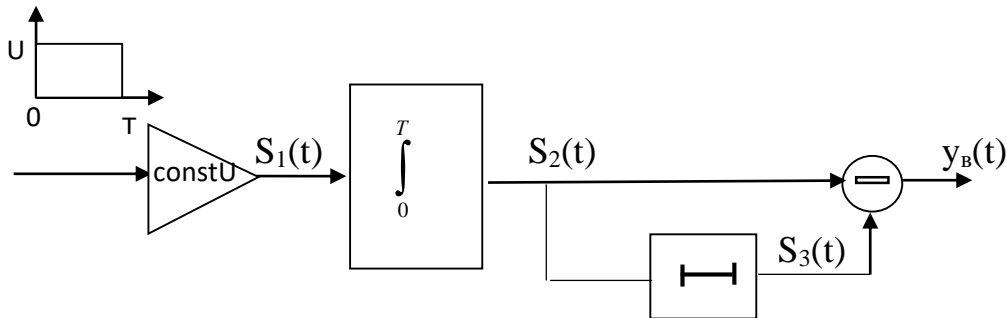
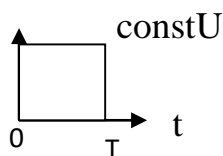
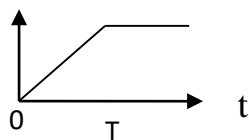


Рисунок 2.2. Структурная схема СФ с видеоимпульсом.

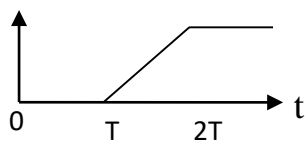
$S_1(t)$



$S_2(t)$



$S_3(t)$



$y_B(t)$

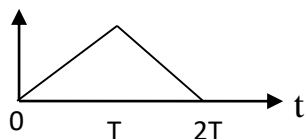
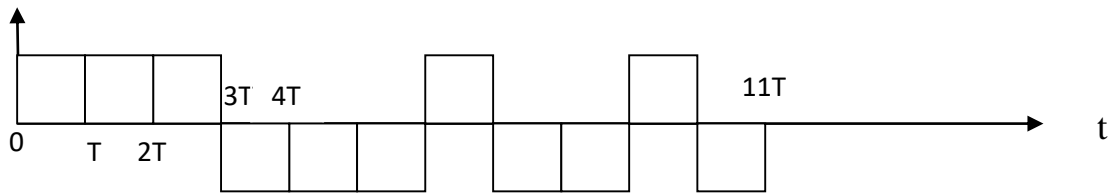


Рисунок 2.3. Формирование сигнала на выходе фильтра, согласованного с видеоимпульсом.

Пример 2. Фильтр, согласованный с кодом Баркера.

Код Баркера: 1 1 1 -1 -1 -1 1 -1 -1 1 1 -1

$S(t)$



Формирование сигнала на выходе фильтра:

$$y_B(t) = \text{const} \int_{-\infty}^{\infty} S(\tau) S(T_c - t + \tau) d\tau \quad \xrightarrow{\text{Дискр время}}$$

$$\rightarrow \text{const} \sum_{k=1}^n S_k \cdot S_{k-i+n} = y_i; n=11$$

Пусть $\text{const}=1 \Rightarrow$

$$i = 0 \Rightarrow y_0 = S_1 S_{12} = 0$$

$$i = 1 \Rightarrow y_1 = S_1 S_{11} + S_2 S_{12} = 1 \cdot (-1) = -1$$

$$i = 2 \Rightarrow y_2 = S_1 S_{10} + S_2 S_{11} + S_3 S_{12} = 1 \cdot 1 + 1 \cdot (-1) = 0$$

и т. д.

$$i = 11 \Rightarrow y_{11} = \sum_{k=1}^{11} S_k^2 = 11$$

В результате получим:

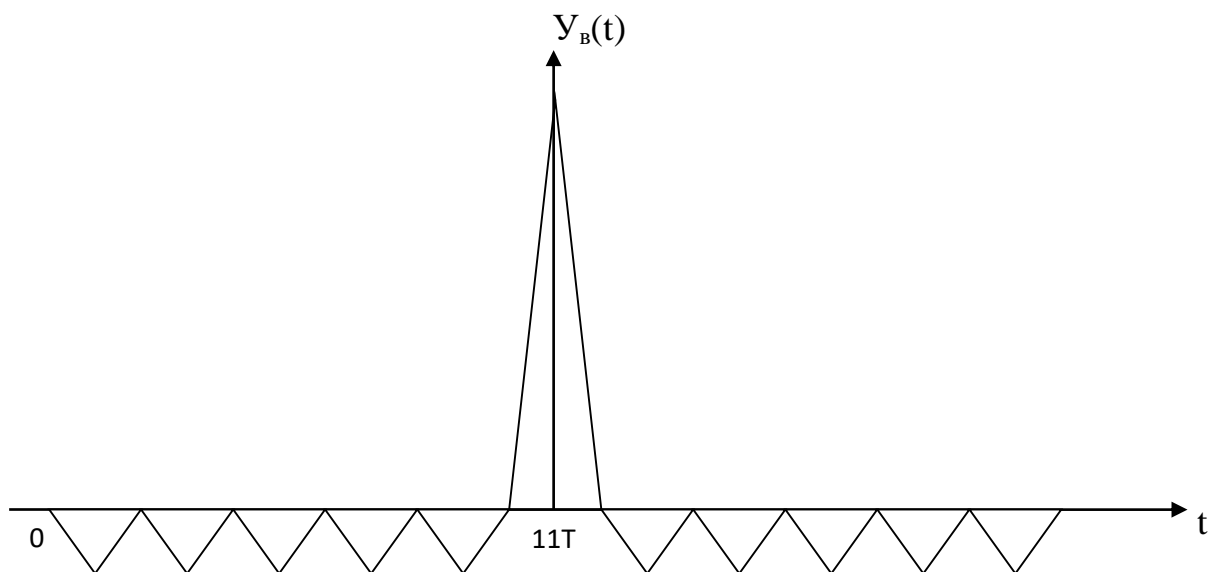


Рисунок 2.4. Сигнал на выходе фильтра, согласованного с кодом Баркера.

Импульсная характеристика – зеркальное отображение кода Баркера:

-1 1 -1 -1 1 -1 -1 -1 1 1

На рисунке 2.5 показана структура фильтра, согласованного с кодом Баркера.

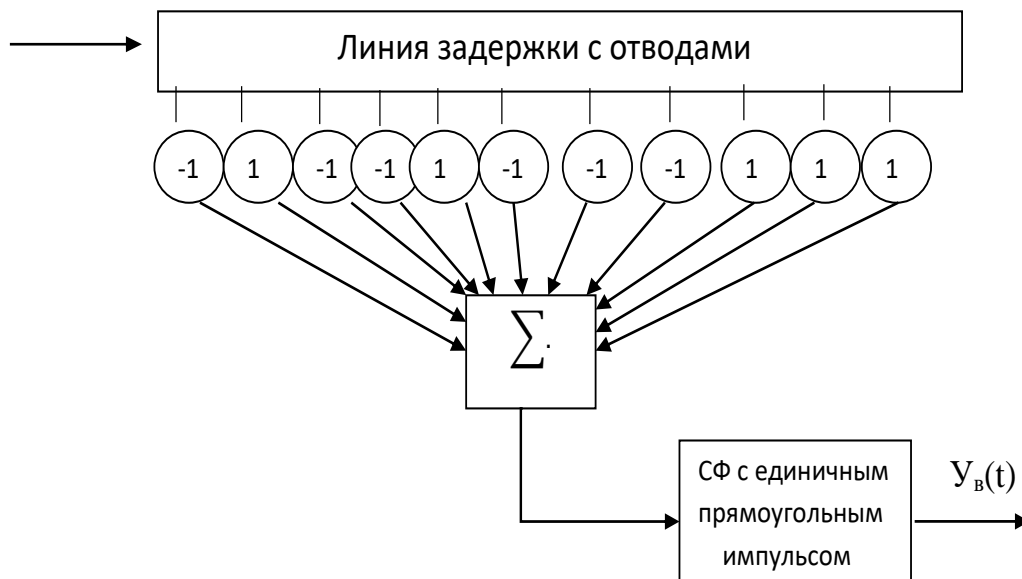


Рисунок 2.5. Структурная схема фильтра, согласованного с кодом Баркера.

Если $y_{\text{вход}}(t) = S(t) + \eta(t) \Rightarrow y_B(t) = \int_{-\infty}^{\infty} y_{\text{вход}}(\tau) \cdot h(t - \tau) d\tau =$
 $A \int_{-\infty}^{\infty} S(\tau) \cdot S(t_0 - t + \tau) d\tau + \int_{-\infty}^{\infty} \eta(\tau) \cdot S(t_0 - t + \tau) d\tau = AB_{ss}(t_0 - t) +$
 $AB_{\eta s}(t_0 - t)$, где $A = \text{const}$.

$B_{ss}()$ – автокорреляционная функция входного сигнала, $B_{\eta s}()$ – взаимная корреляционная функция сигнала и шума.

2.1.5. Обнаружение радиосигнала со случайной начальной фазой на фоне АБГШ.

Пусть по гипотезе H_1 на вход приемного устройства поступает аддитивная смесь сигнала и шума: $y_i = S_i + \eta_i$, где $S_i = A \cos(\omega i + \varphi)$. Здесь A – известная амплитуда, $\omega = \frac{2\pi}{T} \Delta t$, T – период сигнала, Δt – шаг (интервал) дискретизации, φ – начальная фаза колебания, которая является случайной величиной с равномерным распределением: $\varphi \sim R[-\pi, \pi]$, т.е. ФПВ фазы имеет

$$\text{вид: } w(\varphi) = \begin{cases} \frac{1}{2\pi}, & -\pi \leq \varphi \leq \pi, \\ 0, & \text{иначе.} \end{cases}$$

Запишем отношение правдоподобия: $\Lambda(\vec{\mathbf{y}}_n, \varphi) = \frac{w(\vec{\mathbf{y}}_n, \varphi | H_1)}{w(\vec{\mathbf{y}}_n, \varphi | H_0)}$,

$$\text{где } w(\vec{\mathbf{y}}_n, \varphi | H_1) = \frac{1}{(\sqrt{2\pi}\sigma_\eta)^n} \exp\left(-\sum_{i=1}^n \frac{(y_i - A \cos(\omega i + \varphi))^2}{2\sigma_\eta^2}\right),$$

$$w(\vec{\mathbf{y}}_n, \varphi | H_0) = \frac{1}{(\sqrt{2\pi}\sigma_\eta)^n} \exp\left(-\sum_{i=1}^n \frac{y_i^2}{2\sigma_\eta^2}\right).$$

Т.к. отношение правдоподобия зависит от фазы φ , то оно тоже является случайной величиной. Поэтому $\Lambda(\vec{\mathbf{y}}_n, \varphi)$ можно усреднить по фазе \Rightarrow

$$\Lambda_1(\vec{\mathbf{y}}_n) = \int_{-\pi}^{\pi} \Lambda(\vec{\mathbf{y}}_n, \varphi) w(\varphi) d\varphi = \frac{1}{2\pi} \int_{-\pi}^{\pi} \Lambda(\vec{\mathbf{y}}_n, \varphi) d\varphi.$$

Далее, приняв во внимание, что $\sum_{i=1}^n A^2 \cos(\omega_i + \varphi) = E$ - энергия сигнала и введя

обозначения $X_{nc} = \sum_{i=1}^n y_i \cos(\omega i)$, $X_{ns} = \sum_{i=1}^n y_i \sin(\omega i)$, получим

$$\begin{aligned} \Lambda_1(\vec{\mathbf{y}}_n) &= \frac{1}{2\pi} \int_{-\pi}^{\pi} \exp\left(\frac{A(X_{nc} \cos \varphi - X_{ns} \sin \varphi)}{\sigma_\eta^2} - \frac{E}{2\sigma_\eta^2}\right) d\varphi = \\ &= \exp\left(-\frac{E}{2\sigma_\eta^2}\right) \cdot \frac{1}{2\pi} \int_{-\pi}^{\pi} \exp\left(\frac{A(X_n \cos(\varphi + \chi))}{\sigma_\eta^2}\right) d\varphi, \end{aligned}$$

$$\text{где } X_n = \sqrt{X_{nc}^2 + X_{ns}^2}, \chi = \arctg\left(\frac{X_{ns}}{X_{nc}}\right).$$

Известно, что $\frac{1}{2\pi} \int_{-\pi}^{\pi} \exp\left(\frac{AX_n \cos(\varphi + \chi)}{\sigma_\eta^2}\right) d\varphi = I_0\left(\frac{AX_n}{\sigma_\eta^2}\right)$ - функция Бесселя

$$\text{нулевого порядка } \Rightarrow \Lambda_1(\vec{\mathbf{y}}_n) = \exp\left(-\frac{E}{2\sigma_\eta^2}\right) I_0\left(\frac{AX_n}{\sigma_\eta^2}\right).$$

Т.к. функция Бесселя монотонная от X_n при отношении сигнал/шум $h_{\text{вых}} > 1$ \Rightarrow решение можно принимать но, $\Rightarrow X_n$:

$$\text{если } X_n \geq C_\alpha \Rightarrow \gamma_1 \text{ (есть сигнал)} \quad (2.25)$$

$$\text{если } X_n < C_\alpha \Rightarrow \gamma_0 \text{ (нет сигнала)}$$

Поиск порога C_α .

Порог будем искать по критерию Неймана-Пирсона:

оптимальным решающим правилом является сравнение с некоторым порогом выбирающимся из условия получения заданной вероятности ложной тревоги α . При этом минимизируется вероятность пропуска сигнала β

$$\alpha - \text{задано} \Rightarrow \beta = \min \quad (2.26)$$

В отсутствии радиосигнала случайная величина X_n характеризуется плотностью распределения Релея: $w(X_n/H_0) = \frac{X_n}{\sigma_X^2} \exp\left(-\frac{X_n^2}{2\sigma_X^2}\right)$, $\sigma_X^2 = \frac{\sigma_\eta^2 T_H}{2}$ - дисперсия, составляющих X_{nc}, X_{ns} , $T_H = n \Delta t$ - время наблюдения.

По заданной $\alpha = \int_{C_\alpha}^\infty w(X_n/H_0) dX_n$ находим C_α : $C_\alpha = \sqrt{\frac{n\sigma_\eta^2}{f_d} \ln\left(\frac{1}{\alpha}\right)} =$

$$C_\alpha = \sqrt{\sigma_\eta^2 T_H \ln\left(\frac{1}{\alpha}\right)}, \text{ где } f_d = \frac{1}{\Delta t} - \text{частота дискретизации сигнала.}$$

Затем можно вычислить вероятность пропуска сигнала β и вероятность обнаружения $D=1-\beta$.

По формуле: $\beta = \int_{-\infty}^{C_\alpha} w(X_n/H_1) dX_n$, где

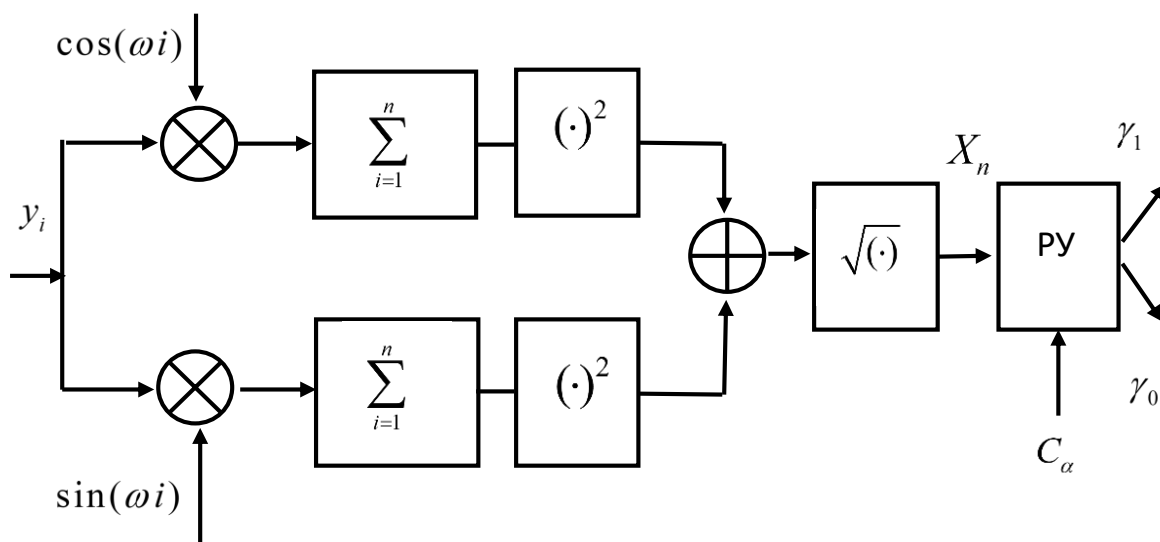
$$w(X_n/H_1) = \frac{X_n}{\sigma_X^2} \exp\left(-\frac{X_n^2 + m_c^2 + m_s^2}{2\sigma_X^2}\right) I_0\left(\frac{X_n \sqrt{m_c^2 + m_s^2}}{\sigma_X^2}\right) - \text{плотность}$$

распределения Релея - Райса, где m_c, m_s - условие мат. ожидания,

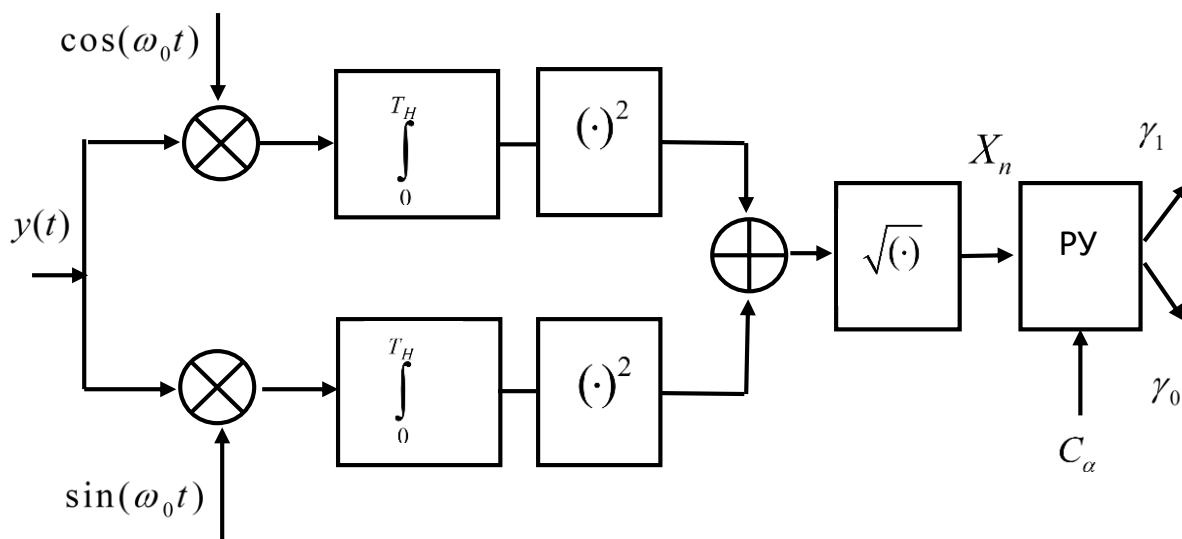
$$\text{составляющих: } X_{nc}, X_{ns}: \quad m_c = E(X_{nc} / \varphi) = \frac{AT_H}{2} \cos \varphi,$$

$$m_s = E(X_{ns} / \varphi) = -\frac{AT_H}{2} \sin \varphi, \text{ E - оператор мат. ожидания.}$$

На рисунке 2.6. показана структура обнаружителя радиосигнала со случайной начальной фазой.



а)



б) $\omega_0 = \frac{2\pi}{T}$

Рисунок 2.6. Структурная схема алгоритма обнаружения радиосигнала со случайной начальной фазой : а – в дискретном времени, б – в непрерывном времени.

Такая обработка называется **некогерентной**, т.к. начальная фаза φ неизвестна